

TT 101 F, TD 101 F, DT 101 F

Elektrische Eigenschaften**Electrical properties****Höchstzulässige Werte****Maximum rated values**

Periodische Vorwärts- und Rückwärts-Spitzenperrspannung	repetitive peak forward off-state and reverse voltages	$t_{vj} = -40^\circ\text{C} \dots t_{vj \max}$	V_{DRM}, V_{RRM}	800, 1000 1100, 1200 1300, 1400	V V V
Vorwärts-Stoßspitzenspannung	non repetitive peak forward off-state voltage	$t_{vj} = -40^\circ\text{C} \dots t_{vj \max}$	$V_{DSM} = V_{DRM}$		
Rückwärts-Stoßspitzenspannung	non repetitive peak reverse voltage	$t_{vj} = +25^\circ\text{C} \dots t_{vj \max}$	$V_{RSM} = V_{RRM}$	+ 100	V
Durchlaßstrom-Grenzeffektivwert Dauergrenzstrom	RMS on-state current average on-state current	$t_C = 85^\circ\text{C}$ $t_C = 70^\circ\text{C}$	I_{TRMSM} I_{AVM}	200 101 128	A A A
Stoßstrom-Grenzwert	surge current	$t_{vj} = 25^\circ\text{C}, t_p = 10 \text{ ms}$ $t_{vj} = t_{vj \max}, t_p = 10 \text{ ms}$	I_{TSM}	2750 2400	A A
Grenzlastintegral	$\int i^2 dt$ -value	$t_{vj} = 25^\circ\text{C}, t_p = 10 \text{ ms}$ $t_{vj} = t_{vj \max}, t_p = 10 \text{ ms}$	$\int i^2 dt$	37800 28800	A^2s A^2s
Kritische Stromteilheit	critical rate of rise of on-state current	$v_D \leq 67\% V_{DRM}, f_0 = 50 \text{ Hz}$ $i_{GM} = 0,6 \text{ A}, di_G/dt = 0,6 \text{ A}/\mu\text{s}$	$(di/dt)_{cr}$	160	$\text{A}/\mu\text{s}$
Kritische Spannungsteilheit	critical rate of rise of off-state voltage	$t_{vj} = t_{vj \max}, V_D = 67\% V_{DRM}$ 6. Kennbuchstabe/6th letter	$(dv/dt)_{cr}$	1) 50 500 500 1000	2) 50 500 50 500
		6. Kennbuchstabe/6th letter C 6. Kennbuchstabe/6th letter L 6. Kennbuchstabe/6th letter M			$\text{V}/\mu\text{s}$ $\text{V}/\mu\text{s}$ $\text{V}/\mu\text{s}$ $\text{V}/\mu\text{s}$

Charakteristische Werte**Characteristic values**

Durchlaßspannung	on-state voltage	$t_{vj} = t_{vj \max}, i_T = 350 \text{ A}$	v_T	max.	2,15	V
Schleusenspannung	threshold voltage	$t_{vj} = t_{vj \max}$	$V_{T(TO)}$		1,2	V
Ersatzwiderstand	slope resistance	$t_{vj} = t_{vj \max}$	r_T		2,1	$\text{m}\Omega$
Zündstrom	gate trigger current	$t_{vj} = 25^\circ\text{C}, v_D = 6 \text{ V}$	I_{GT}	max.	150	mA
Zündspannung	gate trigger voltage	$t_{vj} = 25^\circ\text{C}, v_D = 6 \text{ V}$	V_{GT}	max.	2	V
Nicht zündender Steuerstrom	gate non trigger current	$t_{vj} = t_{vj \max}, v_D = 6 \text{ V}$	I_{GD}	max.	10	mA
Nicht zündende Steuerspannung	gate non trigger voltage	$t_{vj} = t_{vj \max}, v_D = 0,5 V_{DRM}$	V_{GD}	max.	0,25	V
Haltestrom	holding current	$t_{vj} = 25^\circ\text{C}, v_D = 6 \text{ V}, R_A = 10 \Omega$	I_H	max.	250	mA
Einraststrom	latching current	$t_{vj} = 25^\circ\text{C}, v_D = 6 \text{ V}, R_{GK} \geq 20 \Omega$ $i_{GM} = 0,6 \text{ A}, di_G/dt = 0,6 \text{ A}/\mu\text{s}, t_g = 10 \mu\text{s}$	I_L	max.	1	A
Vorwärts- und Rückwärts-Sperrstrom	forward off-state and reverse currents	$t_{vj} = t_{vj \max}, V_D = V_{DRM}, V_R = V_{RRM}$	i_D, i_R	max.	30	mA
Zündverzug	gate controlled delay time	$t_{vj} = 25^\circ\text{C}, i_{GM} = 0,6 \text{ A}, di_G/dt = 0,6 \text{ A}/\mu\text{s}$ siehe Techn. Erl./see Techn. Inf.	t_{gd}	max.	1,4	μs
Freiwerdezeit	circuit commutated turn-off time		t_q	S:	18	μs
Isolations-Prüfspannung	insulation test voltage	RMS, $f = 50 \text{ Hz}, t = 1 \text{ min}$	V_{ISOL}	E:	20	μs
				F:	25	μs
					3	kV

Thermische Eigenschaften**Thermal properties**

Innerer Wärmewiderstand	thermal resistance, junction to case	$\Theta = 180^\circ\text{el}, \sinus:$ pro Modul/per module DC: pro Modul/per module pro Zweig/per arm	R_{thJC}	max.	0,115	$^\circ\text{C/W}$
Übergangs-Wärmewiderstand	thermal resistance, case to heatsink	pro Modul/per module pro Zweig/per arm	R_{thCK}	max.	0,03	$^\circ\text{C/W}$
Höchstzul. Sperrsichttemperatur Betriebstemperatur Lagertemperatur	max. junction temperature operating temperature storage temperature			$t_{vj \max}$ $t_{C op}$ t_{sig}	-40°C ... +125°C -40°C ... +125°C -40°C ... +130°C	

Mechanische Eigenschaften**Mechanical properties**

Si-Elemente mit Druckkontakt Innere Isolation Anzugsdrehmomente mechanische Befestigung elektrische Anschlüsse Gewicht Kriechstrecke Schwingfestigkeit Maßbild	Si-pellets pressure contact internal insulation tightening torques mounting torque terminal connection torque weight creepage distance vibration resistance outline	Toleranz/tolerance $\pm 15\%$ Toleranz/tolerance $+5\%/-10\%$ $f = 50 \text{ Hz}$				AlN
			$M1$ $M2$ G			6 Nm 6 Nm typ. 430 g 14 mm $5 \cdot 9,81 \text{ m/s}^2$ 6

1) Werte nach DIN 41787 (ohne vorausgehende Kommutierung)/Values to DIN 41787 (without prior commutation)

2) Unmittelbar nach der Freiwerdezeit/Immediately after turn-off time

Daten der Dioden siehe unter DD 122 S bei $V_{RRM} \leq 800 \text{ V}$ und DD 121 S bei $V_{RRM} \geq 1000 \text{ V}$ For data of the diode refer to DD 122 S at $V_{RRM} \leq 800 \text{ V}$ and DD 121 S at $V_{RRM} \geq 1000 \text{ V}$

TT 101 F, TD 101 F, DT 101 F können auch mit gemeinsamer Anode oder gemeinsamer Kathode geliefert werden.

TT 101 F, TD 101 F, DT 101 F can also be supplied with common or common cathode.

Recognized by UNDERWRITERS LABORATORIES INC.

TT 101 F, TD 101 F, DT 101 F

Bild/Fig. 1, 2, 3
Höchstzulässige Strombelastbarkeit in Abhängigkeit von der Halbschwingsdauer für einen Zweig bei:
sinusförmigem Stromverlauf,
der angegebenen Gehäusetemperatur t_C ,
Vorwärts-Sperrspannung $V_{DM} \leq 0,67 V_{RRM}$,
Freiwerdezeit t_q gemäß 5. Kennbuchstaben,
Spannungssteilheit dv_D/dt gemäß 6. Kennbuchstaben.

Ausschaltverlustleistung:

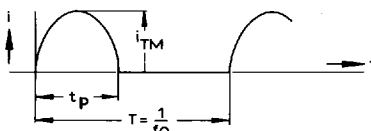
- berücksichtigt für den Betrieb bei $f_0 = 50$ Hz...0,4 kHz für $dv_R/dt \leq 600$ V/ μ s und Anstieg auf $v_{RM} \leq 0,67 V_{RRM}$;
- nicht berücksichtigt für Betrieb bei $f_0 \geq 1$ kHz. Diese Kurven gelten jedoch für den Betrieb mit antiparalleler Diode oder $dv_R/dt \leq 100$ V/ μ s und Anstieg auf $v_{RM} \leq 50$ V.

Maximum allowable current load versus halfwave duration per arm at:
sinusoidal current waveform,
given case temperature t_C .

forward off-state voltage $V_{DM} \leq 0,67 V_{RRM}$,
circuit commutated turn-off time t_q according to 5th code letter,
rate of rise of voltage dv_D/dt according to 6th code letter.

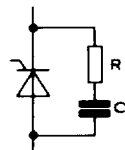
Turn-off losses:

- taken into account for operation at $f_0 = 50$ Hz to 0,4 kHz for $dv_R/dt \leq 600$ V/ μ s and rise up to $v_{RM} \leq 0,67 V_{RRM}$;
- not taken into account for operation at $f_0 \geq 1$ kHz.
But the curves are valid for operation with inverse paralleled diode or $dv_R/dt \leq 100$ V/ μ s and rise up to $v_{RM} \leq 50$ V.

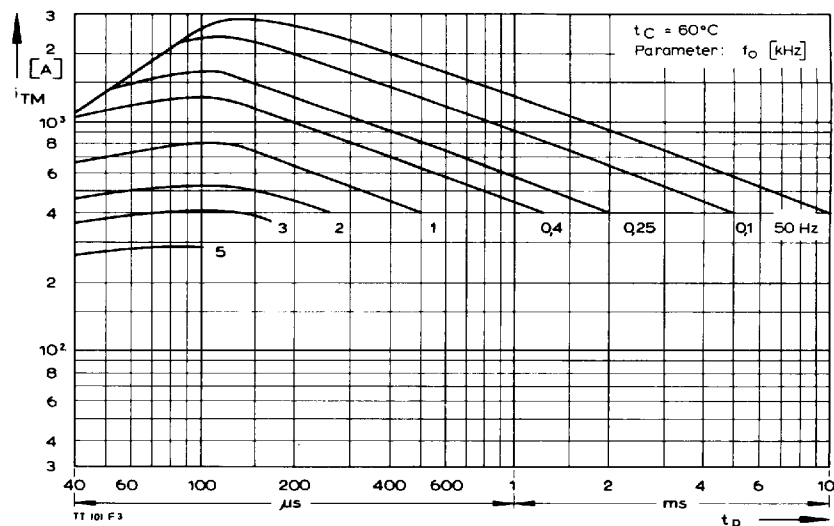


Parameter: Wiederholfrequenz f_0 [kHz]
Repetition rate f_0 [kHz]

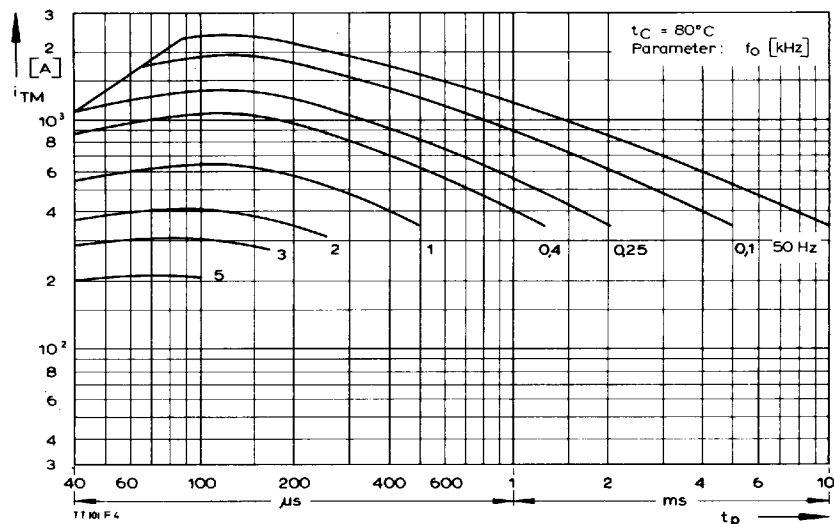
Steuergenerator/Pulse generator:
i_G = 0,6 A, t_a = 1 μ s



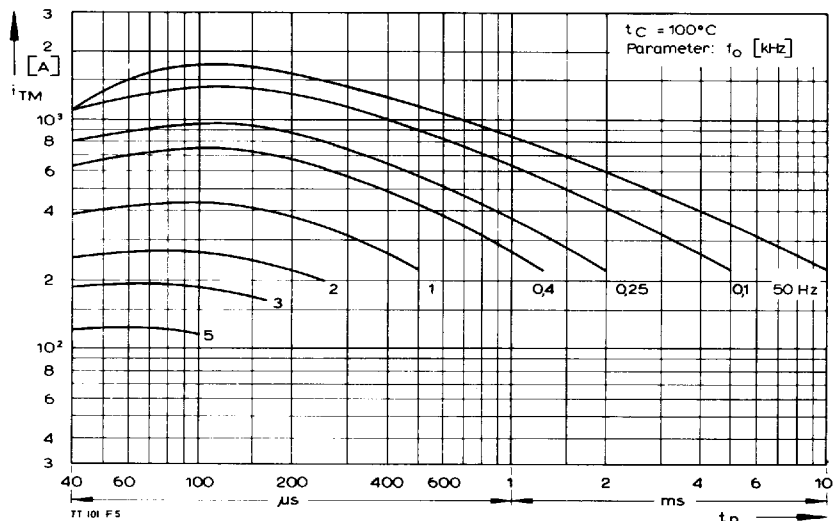
RC-Glied/RC network:
R [Ω] $\geq 0,02 \cdot V_{DM}$ [V]
C $\leq 0,15 \mu$ F



Bild/Fig. 1



Bild/Fig. 2



Bild/Fig. 3

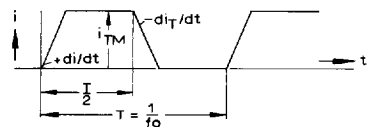
TT 101 F, TD 101 F, DT 101 F

Bild/Fig. 4, 5, 6
Höchstzulässige Strombelastbarkeit in Abhängigkeit von der Stromsteilheit für einen Zweig bei:
trapezförmigem Stromverlauf,
der angegebenen Gehäusetemperatur t_c ,
Vorwärts-Sperrspannung $v_{DM} \leq 0,67 V_{DRM}$,
Freiwerdezeit t_q gemäß 5. Kennbuchstaben,
Spannungssteilheit dv/dt gemäß 6. Kennbuchstaben.

Ausschaltverlustleistung berücksichtigt; die Kurven gelten für:
— Betrieb mit antiparalleler Diode oder
 $dv_R/dt \leq 100 \text{ V}/\mu\text{s}$ bei Anstieg auf $v_{RM} \leq 50 \text{ V}$
— — $dv_R/dt \leq 600 \text{ V}/\mu\text{s}$ und Anstieg auf $v_{RM} = 0,67 V_{DRM}$.

Maximum allowable current load versus rate of rise of current per arm at:
trapezoidal current waveform,
given case temperature t_c ,
forward off-state voltage $v_{DM} \leq 0,67 V_{DRM}$,
circuit commutated turn-off time t_q according to 5th code letter,
rate of rise of voltage dv/dt according to 6th code letter.

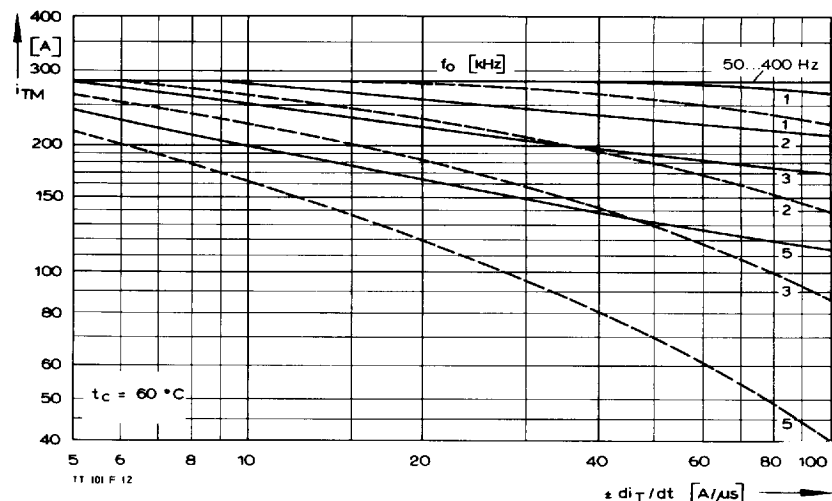
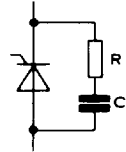
Turn-off losses taken into account; the curves apply for:
— Operation with inverse paralleled
diode or $dv_R/dt \leq 100 \text{ V}/\mu\text{s}$ rising up to $v_{RM} \leq 50 \text{ V}$.
— — $dv_R/dt \leq 600 \text{ V}/\mu\text{s}$ rising up to $v_{RM} = 0,67 V_{DRM}$.



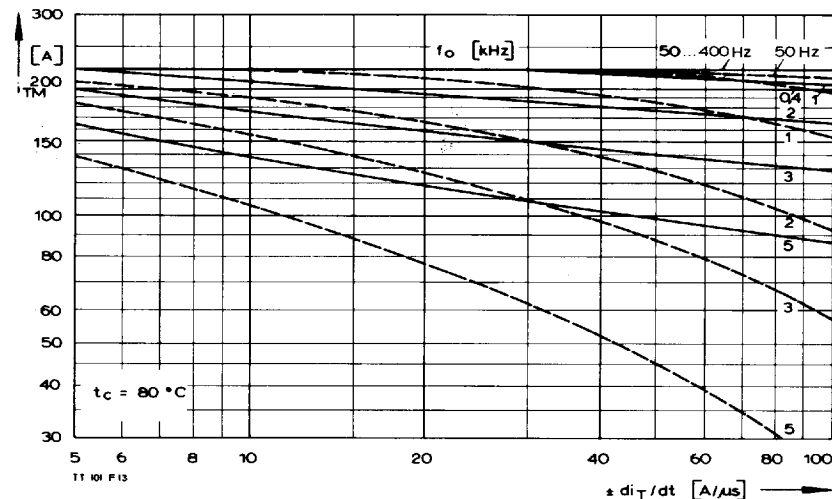
Parameter: Wiederholfrequenz f_0 [kHz]
Repetition rate f_0 [kHz]

Steuergenerator/Pulse generator:
 $i_G = 0,6 \text{ A}$, $t_s = 1 \mu\text{s}$

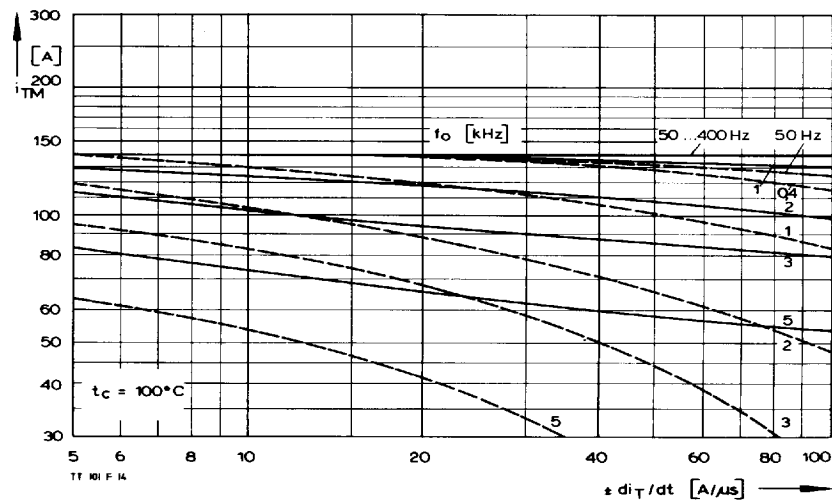
RC-Glied/RC network:
 $R [\Omega] \geq 0,02 \cdot v_{DM} [\text{V}]$
 $C \leq 0,22 \mu\text{F}$



Bild/Fig. 4



Bild/Fig. 5

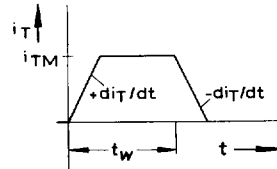


Bild/Fig. 6

TT 101 F, TD 101 F, DT 101 F

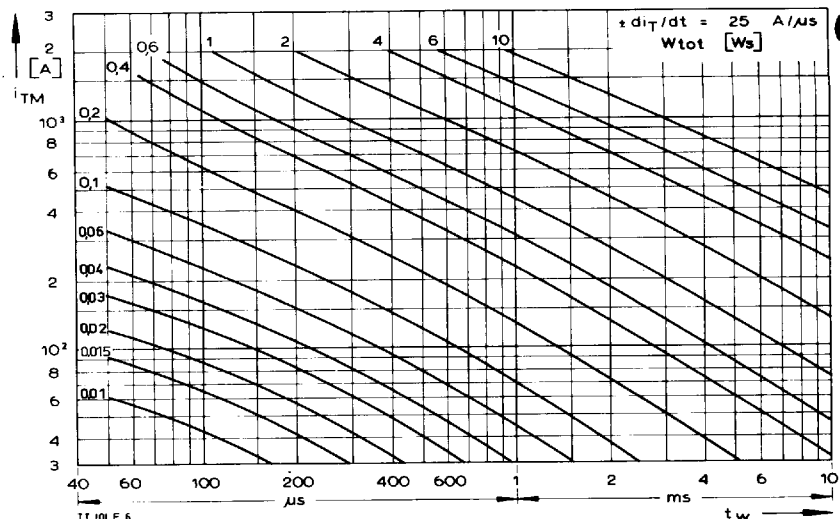
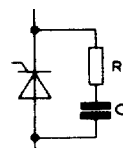
Bild/Fig. 7, 8, 9
 Diagramme zur Ermittlung der Gesamtenergie W_{tot} für einen trapezförmigen Durchlaß-Strompuls, für einen Zweig bei:
 der angegebenen Stromsteilheit $\pm di_T/dt$,
 Vorwärts-Sperrspannung $v_{DM} \leq 0,67 V_{DRM}$,
 Rückwärts-Sperrspannung $v_{RM} \leq 50 V$,
 Spannungssteilheit $dv_F/dt \leq 100 V/\mu s$.

Diagram for the determination of the total energy W_{tot} for a trapezoidal current pulse for one arm at:
 given rate of rise of on-state current $\pm di_T/dt$,
 forward off-state voltage $v_{DM} \leq 0,67 V_{DRM}$,
 maximum reverse voltage $v_{RM} \leq 50 V$,
 rate of rise of off-state voltage $dv_F/dt \leq 100 V/\mu s$.

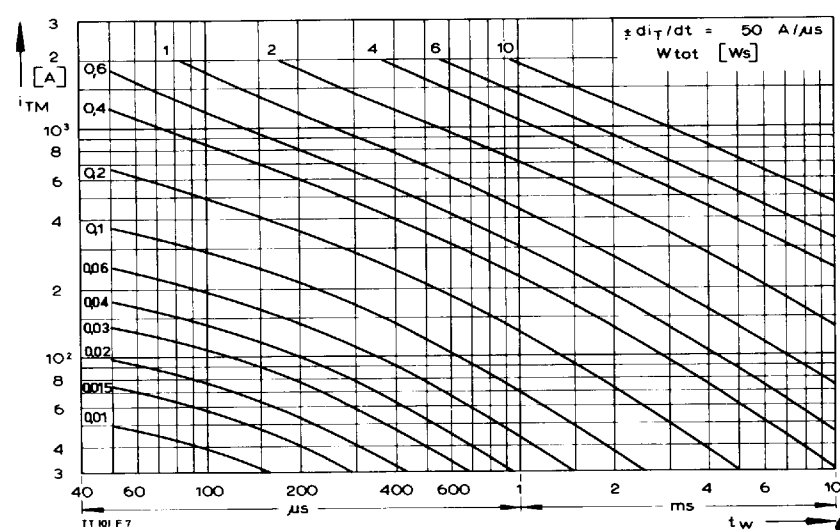


Steuergenerator/Pulse generator:
 $i_G = 0,6 A$, $t_a = 1 \mu s$

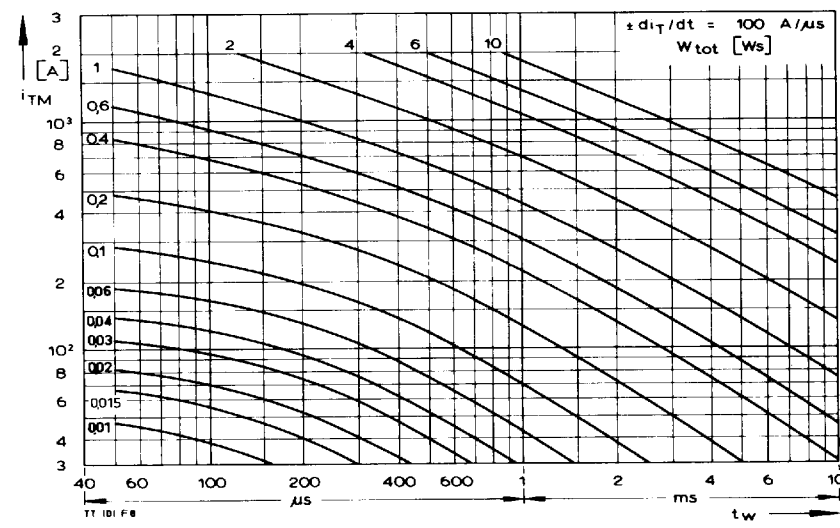
RC-Glied/RC network:
 $R [\Omega] \geq 0,02 \cdot v_{DM} [V]$
 $C \leq 0,22 \mu F$



Bild/Fig. 7



Bild/Fig. 8

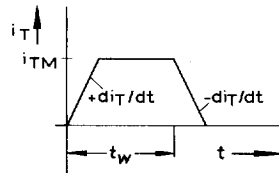


Bild/Fig. 9

TT 101 F, TD 101 F, DT 101 F

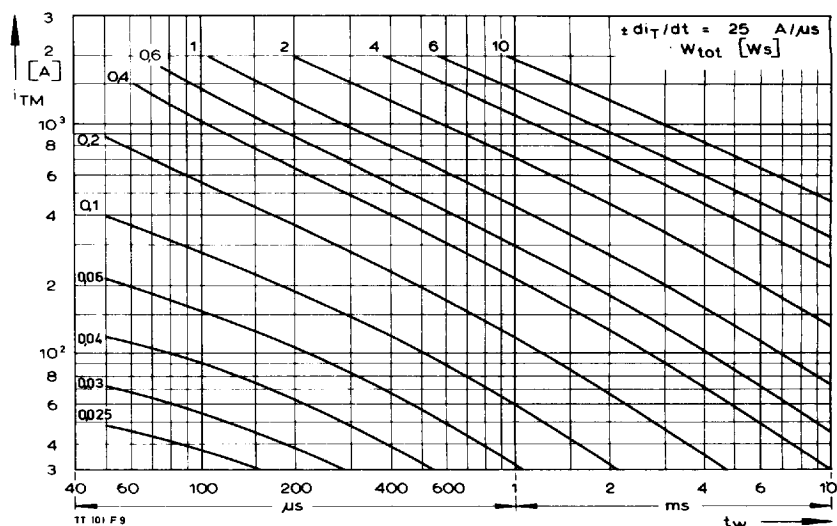
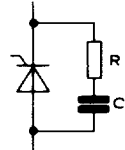
Bild/Fig. 10, 11, 12
 Diagramme zur Ermittlung der Gesamtenergie W_{tot} für einen trapezförmigen Durchlaß-Strompuls, für einen Zweig bei:
 der angegebenen Stromsteilheit di_T/dt ,
 Vorwärts-Sperrspannung $V_{\text{DM}} \leq 0.67 V_{\text{DRM}}$,
 Rückwärts-Sperrspannung $V_{\text{RM}} \leq 0.67 V_{\text{RRM}}$,
 Spannungssteilheit $dv_R/dt \leq 600 \text{ V}/\mu\text{s}$.

Diagram for the determination of the total energy W_{tot} for a trapezoidal current pulse for one arm at:
 given rate of rise of on-state current di_T/dt ,
 forward off-state voltage $V_{\text{DM}} \leq 0.67 V_{\text{DRM}}$,
 maximum reverse voltage $V_{\text{RM}} \leq 0.67 V_{\text{RRM}}$,
 rate of rise of off-state voltage $dv_R/dt \leq 600 \text{ V}/\mu\text{s}$.

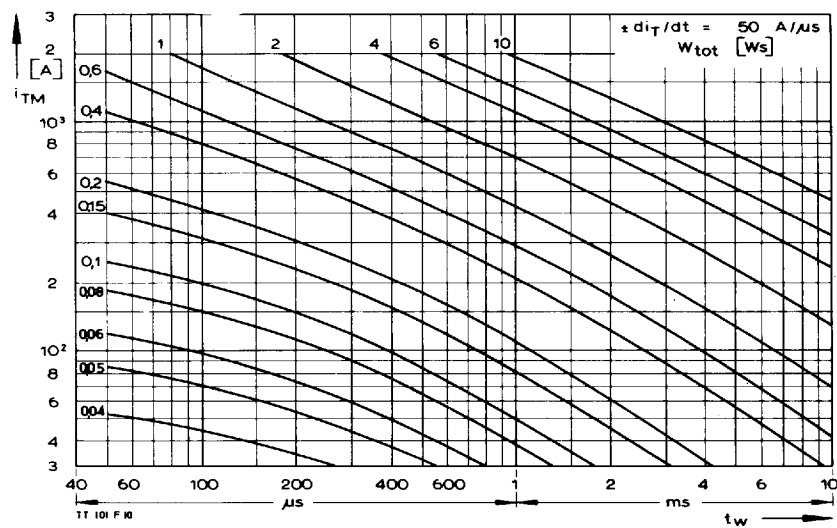


Steuergenerator/Pulse generator:
 $i_G = 0.6 \text{ A}$, $t_a = 1 \mu\text{s}$

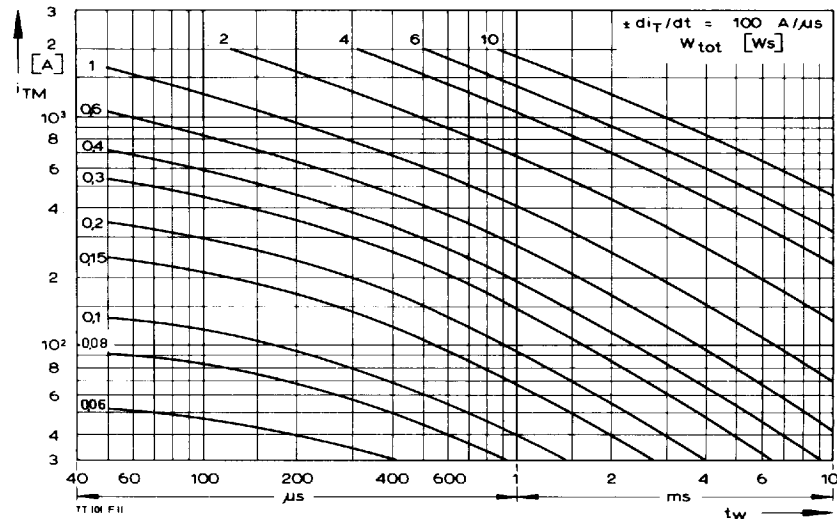
RC-Glied/RC network:
 $R [\Omega] \geq 0.02 \cdot V_{\text{DM}} [\text{V}]$
 $C \leq 0.22 \mu\text{F}$



Bild/Fig. 10



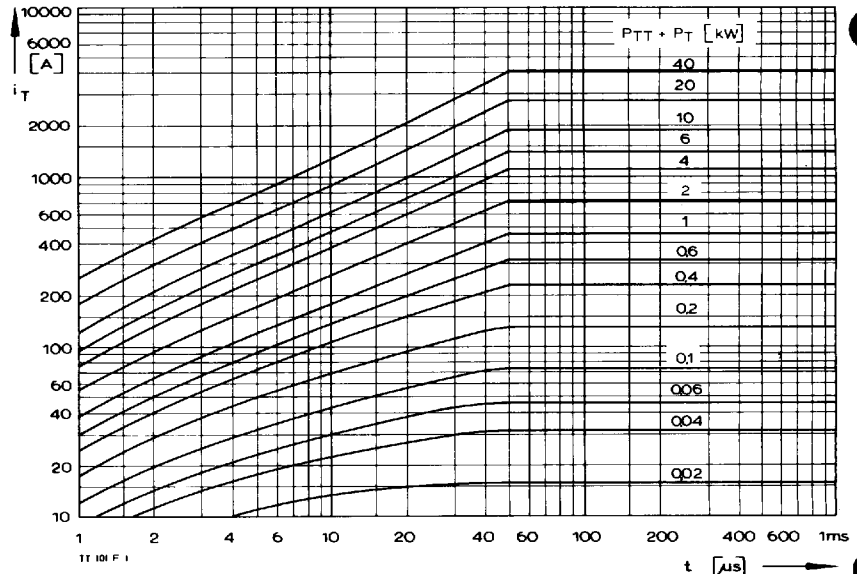
Bild/Fig. 11



Bild/Fig. 12

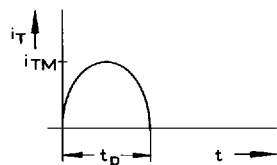
TT 101 F, TD 101 F, DT 101 F

Bild/Fig. 13
 Diagramm zur Ermittlung der Summe aus Einschalt- und Durchlaßverlustleistung ($P_{TT} + P_T$) je Zweig.
 Diagram for the determination of the sum of the turn-on and on-state power loss per arm ($P_{TT} + P_T$).

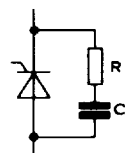


Bild/Fig. 14
 Diagramm zur Ermittlung der Gesamtenergie W_{tot} für einen sinusförmigen Durchlaß-Strompuls, für einen Zweig.
 Diagram for the determination of the total energy W_{tot} for a sinusoidal on-state current pulse for one arm.

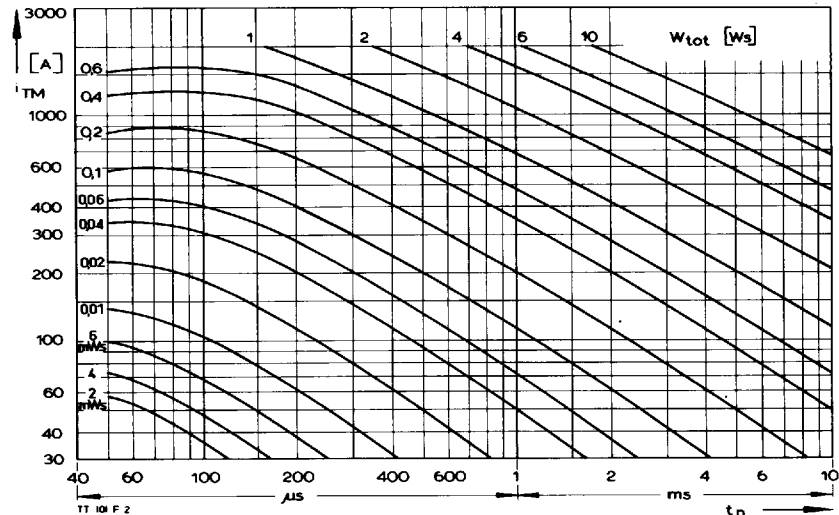
Lastkreis/load circuit:
 $V_{DM} \leq 0,67 V_{DRM}$,
 $V_{RM} \leq 50 V$,
 $dV/dt \leq 100 V/\mu s$



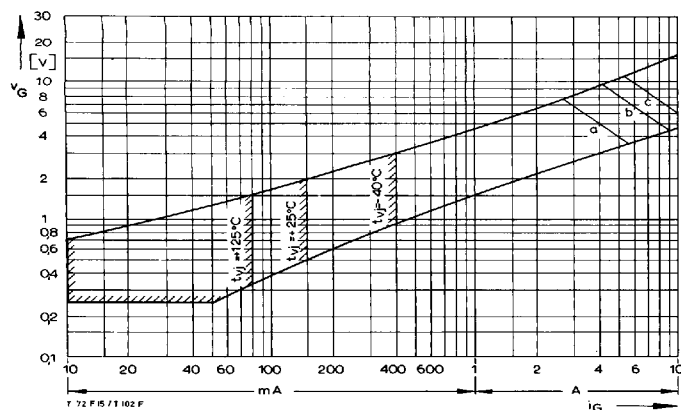
Steuergenerator/Pulse generator:
 $i_G = 0,6 A$, $t_a = 1 \mu s$



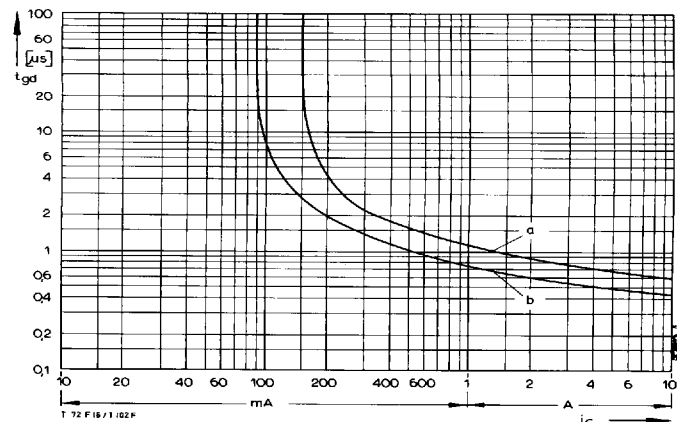
RC-Glied/RC network:
 $R [\Omega] \geq 0,02 \cdot V_{DM} [V]$
 $C \leq 0,15 \mu F$



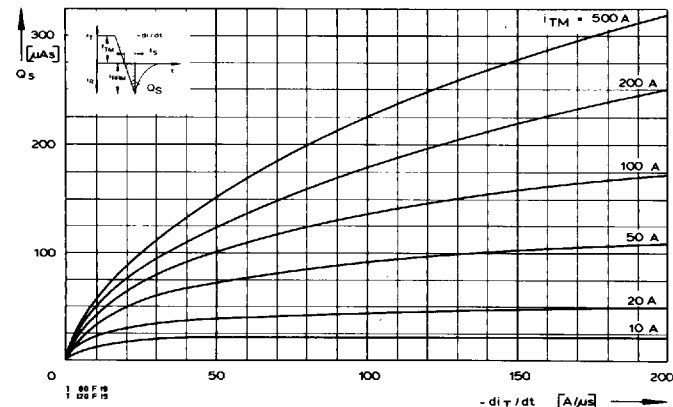
TT 101 F, TD 101 F, DT 101 F



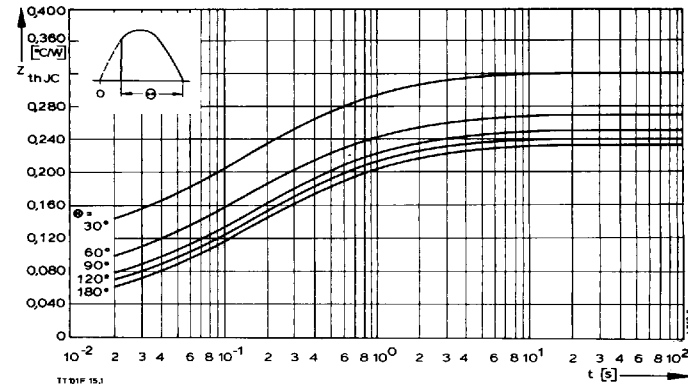
Bild/Fig. 15
Zündbereich und Spitzensteuerleistung bei $v_D = 6 \text{ V}$.
Gate characteristic and peak gate power dissipation at $v_D = 6 \text{ V}$.
Parameter:
Steuerimpulsdauer/Pulse duration t_g [ms] a b c
Höchstzulässige Spitzensteuerleistung/
Maximum allowable peak gate power [W] 20 40 60



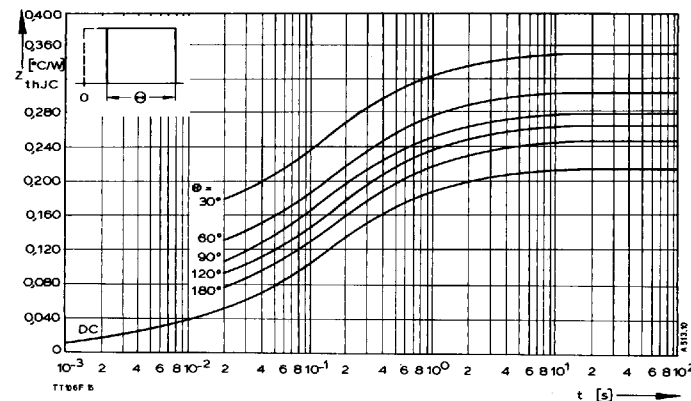
Bild/Fig. 16
Zündverzug/Gate controlled delay time t_{gd} .
DIN 41787, $t_a = 1 \mu\text{s}$, $t_{vj} = 25^\circ\text{C}$.
a - äußerer Verlauf/limiting characteristic
b - typischer Verlauf/typical characteristic



Bild/Fig. 17
Typische Abhängigkeit der oberen Nachlaufladung Q_s von der abkommunizierenden Stromsteilheit $-di_7/dt$ bei $t_{vj \max}$.
Typical relationship between the maximum lag charge Q_s and the rate of decay of on-state current $-di_7/dt$ at $t_{vj \max}$.



Bild/Fig. 18
Transienter innerer Wärmewiderstand je Zweig Z_{thJC} .
Transient thermal impedance per arm Z_{thJC} , junction to case.



Bild/Fig. 19
Transienter innerer Wärmewiderstand je Zweig Z_{thJC} .
Transient thermal impedance, junction to case, per arm Z_{thJC} .

Pos. n	1	2	3	4	5
R_{thn} [$^\circ\text{C}/\text{W}$]	0,0095	0,025	0,076	0,073	0,0305
τ_n [s]	0,00089	0,0078	0,086	0,412	2,45

$$Z_{thJC} = \sum_{n=1}^{n_{\max}} R_{thn} (1 - e^{-t/\tau_n})$$

Transienter Wärmewiderstand Z_{thJC} pro Zweig für DC.
Transient thermal impedance Z_{thJC} per arm for DC.